



UNIVERSITÄTS-
BIBLIOTHEK
PADERBORN

Die Statik im Stahlbetonbau

Beyer, Kurt

Berlin [u.a.], 1956

Zahlenbeispiele

[urn:nbn:de:hbz:466:1-74292](https://nbn-resolving.org/urn:nbn:de:hbz:466:1-74292)

Bei Stäben mit gleichbleibender Krümmung ($r = \text{const} \gg d$) werden die Schnittkräfte als Funktionen des Tangentenwinkels α angegeben, so daß die Verschiebung bei konstantem Trägheitsmoment ($J = \text{const}$) nach (170) folgendermaßen berechnet wird:

$$\bar{1}_k(EJ\delta_k) = r \frac{J}{F} \int_{\alpha_1}^{\alpha_2} \bar{N}_k N d\alpha + r \int_{\alpha_1}^{\alpha_2} \bar{M}_k M d\alpha. \quad (190)$$

Die Ergebnisse sind für die wichtigsten Ansätze des Integranden bestimmt und in Tabelle 16 angeschrieben worden.

Berechnung der gegenseitigen Verdrehung $EJ_c\delta_g$ der Stabquerschnitte am Gelenk g eines Gerberträgers (Abb. 103).

Das Trägheitsmoment wird als konstant angenommen. Die Biegemomente M aus der vorgeschriebenen gleichförmigen Belastung p sind in sechs Teile zerlegt worden (Abb. 103b). Die Biegemomente aus der virtuellen Belastungseinheit des Geradenpaares in g sind in Abb. 103c wiedergegeben. Beide Schaulinien zeigen die Momente an der gezogenen Randfaser, so daß der Integrand $M\bar{M}_g$ positiv ist, wenn beide Ordinaten an derselben Stabseite liegen.

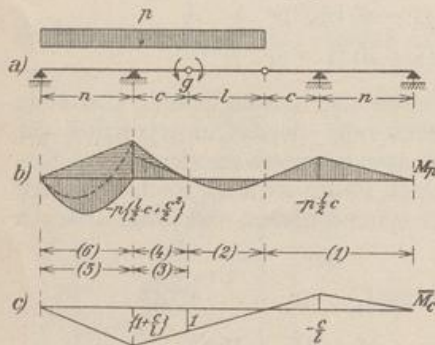
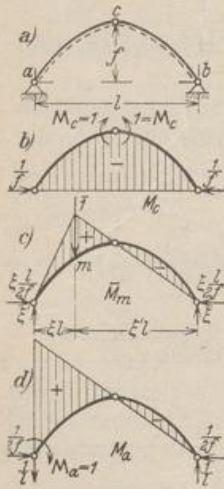


Abb. 103.

$$EJ_c\delta_g = \sum_1^6 \frac{J_c}{J} \int M \bar{M}_g dx,$$

1. $+\frac{1}{3} p \frac{l}{2} c \frac{c}{l} (n' + c')$,
2. $+\frac{1}{24} p l^2 l'$,
3. $-\frac{1}{6} p \frac{lc}{2} \left\{ 2 \left(1 + \frac{c}{l} \right) + 1 \right\} c'$,
4. $-\frac{1}{12} p \frac{c^2}{2} \left\{ 3 \left(1 + \frac{c}{l} \right) + 1 \right\} c'$,
5. $+\frac{1}{24} p n^2 \left(1 + \frac{c}{l} \right) n'$,
6. $-\frac{1}{3} \frac{p lc}{2} \left(1 + \frac{c}{l} \right)^2 n'$.



Mit $\alpha = 1 + c/l$ ist

$$EJ_c\delta_g = \frac{p}{24} \{ l'^2 - c'c [2l(2\alpha+1) + 3c(\alpha-1)] + n' [4c^2 + \alpha n^2 - 4lc\alpha^2] \}.$$

$$n = 15,0 \text{ m}, \quad c = 7,5 \text{ m}, \quad l = 15,0 \text{ m},$$

$$n' = 8,250 \text{ m}, \quad c' = 4,125 \text{ m}, \quad l' = 15,000 \text{ m}$$

liefert

$$EJ_c\delta_g = \frac{p}{24} (3375 - 4060 - 3713) = -183 p.$$

Einflußlinien für die relative Verdrehung der Gelenkquerschnitte eines Bogentragers.

Die Mittellinie ist eine Parabel, $\frac{J_c}{J \cos \alpha} = 1$.

a) Einflußlinie der Verdrehung des Scheitelgelenks c nach (168): Biegelinie infolge eines Momentenpaares $M_c = 1$ in c . Rechnung nach (186) mit Abb. 104b. $P = 1$ über dem linken Bogenschenkel, $0 \leq \xi \leq \frac{1}{2}$:

$$EJ_c \cdot \delta_{cm} = l \int_0^{\frac{1}{2}} M_c \bar{M}_m d\xi = \frac{l^2}{15} (4\xi - 5\omega'_p) = \frac{l^2}{6} k_1.$$

Die Einflußlinie Abb. 105a ist symmetrisch.

b) Einflußlinie der Verdrehung des Kämpfergelenks a nach (168): Biegelinie infolge $M_a = 1$ in a . Rechnung nach (186) mit Abb. 104d. $P = 1$ über dem linken Bogenschenkel, $0 \leq \xi \leq \frac{1}{2}$:

$$EJ_c \delta_{am}^{(1)} = l \int_0^{\frac{1}{2}} M_a \bar{M}_m d\xi = \frac{l^2}{30} [5(\omega'_D - \omega'_P) - \xi] = \frac{l^2}{30} \xi (5\xi^3 - 1) = \frac{l^2}{6} k_2^{(1)}.$$

$P = 1$ über dem rechten Bogenschenkel, $\frac{1}{2} \leq \xi \leq 1$:

$$E J_c \delta_{am}^{(r)} = \frac{l^2}{30} [5(\omega'_D - \omega'_P) - \xi'] = \frac{l^2}{30} \xi' (5\omega'_c - 1) = \frac{l^2}{6} k_2^{(r)}$$

Die Funktionswerte k_1, k_2 gelten für jeden Dreigelenkbogen mit einer Parabel als Mittel-
linie und $J_c/J \cos \alpha = 1$.

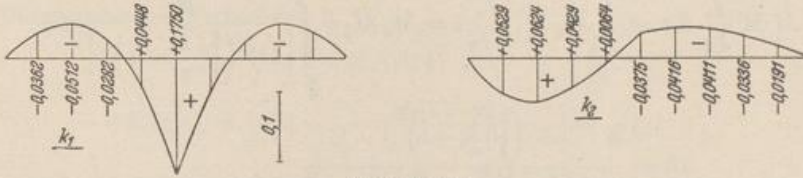


Abb. 105 a u. b.

Unstetiger Verlauf von ζ . Die Steifigkeit des Stabwerks wird oft durch die An-
ordnung von Vouten und durch die biegungssteife Verbindung der Stützen mit hohen
Trägern wesentlich verändert. Sie kann stets durch numerische Integration des An-
satzes verfolgt werden. Die Abb. 106 vergleicht derartige Anordnungen mit den zu-
geordneten Funktionen ζ . Man vereinfacht aber auch hier den Integranden, um für
die wichtigsten Aufgaben geschlossene Lösungen zu erhalten und wählt ζ_h im
Bereiche der Route linear (Kurve 2 in Abb. 106).

Die wichtigsten Ergebnisse sind in den Tabellen.
14a, b eingetragen.

1. Linearer Verlauf der Trägerhöhe d_h ,

2. Verlauf der Trägerhöhe für $\zeta_h = \frac{J_h}{J} = 1 - (1-n)v$,

3. „ „ „ „ $\zeta_h = \frac{J_h}{J} = 1 - (1-n)v^2$,

4. „ „ „ „ $\zeta_h = \frac{J_h}{J} = 1 - (1-n)v^3$.

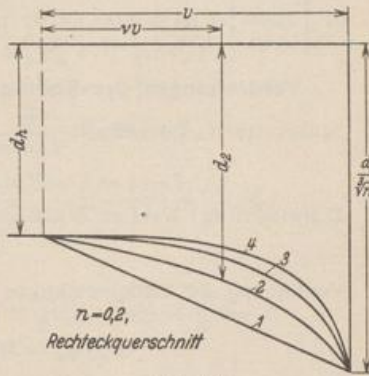


Abb. 106.

Beim Anschluß hoher Träger an die Stützen
kann deren Trägheitsmoment im Bereiche des
Knotens zur Abschätzung der Steifigkeitsverhält-
nisse unendlich groß, also $\zeta_h = 0$ angenommen
werden. Die Annahme ist in einzelnen Fällen auch bei Trägern brauchbar, die in
breite Stützen eingebunden sind. Die Ansätze (171) sind daher auch mit diesen
Funktionen ζ für die wichtigsten Aufgaben ausgerechnet und in die Tabellen 15a, b
aufgenommen worden. Die Ergebnisse sind für die Untersuchung einzelner Klassen
statisch unbestimmter Tragwerke von Bedeutung und daher noch in Abschn. 46
erweitert worden.

Endverdrehung eines Stabes mit linear veränderlichem Querschnitt
(Abb. 107). Um bei Stützen mit linear veränderlichem Querschnitt ($J = bd^3/12$)
den herauszugreifen, der bei Stützen mit konstantem Querschnitt ($J_m = kJ_a$) die
gleiche Endverdrehung ergibt, läßt sich die Gl. (191) bilden und für die üblichen Ver-
hältnisse $n = J_a/J_b$ der Endquerschnitte einer recht-
eckigen Stütze auswerten.

$$\frac{x}{l} = \xi, \quad \frac{J_a}{J_b} = n, \quad J_m = kJ_a,$$

$$d = d_a + (d_b - d_a)\xi,$$

$$J = J_a \left[1 + \left(\sqrt[3]{\frac{1}{n}} - 1 \right) \xi \right]^3,$$

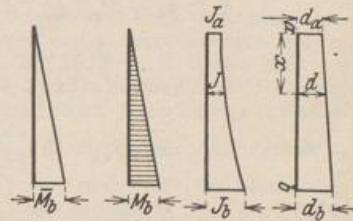


Abb. 107.